

## ДВУХФОТОННОЕ ПОГЛОЩЕНИЕ В МНОГОЯМНОЙ КВАНТОВОЙ СТРУКТУРЕ GaAs/Ga<sub>1-x</sub>Al<sub>x</sub>As

© С.К.Аветисян, А.О.Меликян, Г.Р.Минасян

Армянский государственный инженерный университет,  
Ереван, Армения  
(Получена 22 ноября 1995 г. Принята к печати 12 января 1996 г.)

Теоретически рассмотрено двухфотонное поглощение в широкобарьерной гетероструктуре GaAs/Ga<sub>1-x</sub>Al<sub>x</sub>As ( $x \leq 0.35$ ) и проведено сравнение с экспериментом. В расчетах учтены реальная зонная структура материалов ямы и барьера, а также конечность энергетических скачков  $\Delta E_c$ ,  $\Delta E_v$  для потенциала гетероструктуры. В случае поляризации  $e \parallel z$  дано отличное от работы [1] объяснение отсутствия поглощения в яме, основанное на учете конечности глубины потенциальной ямы. Предложен эксперимент, позволяющий для рассмотренных структур из приведенных в литературе значений отношения  $\Delta E_c/\Delta E_v$  выбирать наиболее близкое к действительному значение.

Теоретическому исследованию коэффициента двухфотонного межзонного поглощения в полупроводниковых структурах пониженной размерности посвящены работы [1,2]. В [1] рассмотрено двухфотонное поглощение для квазиодномерных и квазидвумерных многоямных квантовых структур МКС. Задача в [1] решена в приближении эффективной массы в двухзонной изотропной параболической модели полупроводника в пренебрежении экситонными эффектами и расщеплением валентной зоны при переходе от массивного образца к квантовым ямам. В [2] рассмотрено двухфотонное поглощение в двумерной квантовой структуре с учетом нелокальных эффектов. Здесь, как и в [1], рассмотрена простая двухзонная модель в предположении бесконечно глубоких ям. Реальные квантовые потенциальные ямы в МКС и сверхрешетки имеют конечную глубину и приведенные в работах [1,2] выражения непригодны для количественного анализа энергий квантовых состояний и оптических спектров в вышеотмеченных структурах.

В данной работе теоретически рассмотрено двухфотонное поглощение в широкобарьерной гетероструктуре GaAs/Ga<sub>1-x</sub>Al<sub>x</sub>As ( $x \leq 0.35$ ) с учетом реальной зонной структуры материалов квантовых ям и конечности энергетических разрывов  $\Delta E_c$ ,  $\Delta E_v$  и проведено сравнение с экспериментом [3]. Предполагается, что МКС широкобарьерная, т.е. туннельными переходами носителей между отдельными ямами МКС

пренебрегается [4]. В широкобарьерной МКС коэффициент двухфотонного поглощения определяется соотношением

$$\alpha^{(2)} = \frac{2\hbar\omega W^{(2)}}{I(a + a_B)}, \quad (1)$$

где  $W^{(2)}$  — скорость межзонных двухфотонных переходов на единицу площади квантовой ямы,  $I$  — интенсивности света,  $a$  — ширина квантовой ямы узкозонного материала (GaAs),  $a_B$  — ширина барьера  $\text{Ga}_{1-x}\text{Al}_x\text{As}$ .

Для вычисления составного матричного элемента  $M^{(2)}$  двухфотонного перехода ограничимся учетом линейных по  $k_\perp$  членов в разложении, соответствующих разрешенно-запрещенным переходам (для кристаллов типа  $\text{A}^{\text{III}}\text{B}^{\text{V}}$  разрешенно-разрешенные переходы вносят пренебрежимо малый вклад [5,6]).

Рассмотрим переход из вырожденной валентной зоны в зону проводимости ( $2\hbar\omega - E_g \ll E_g$ , где  $E_g$  — ширина запрещенной зоны GaAs). Поскольку в массивном полупроводнике  $\text{A}^{\text{III}}\text{B}^{\text{V}}$  симметрии  $T_d$  в рассмотренной области частот хорошо применимо приближение, где учтены зона проводимости и все три ветви валентной зоны, будем работать с четырехзонной моделью полупроводника [7]. Так как энергия размерного квантования  $\pi^2\hbar^2/2m_{e,v}a^2$ , как правило, намного меньше  $E_g$  (рассматриваются не слишком тонкие квантовые слои), применяя метод огибающей функции [8] для  $M^{(2)}$  можем написать

$$M_{cs,vj}^{(2)}(\mathbf{k}_\perp, \mathbf{e}, \omega) = \int_{v_0} d\mathbf{r} f_s^{c*}(\mathbf{r}) V_{cs,vj}^{(2)}(\mathbf{k}_\perp, \hat{k}_z, \mathbf{e}, \omega) f_j^v(\mathbf{r}), \quad (2)$$

где  $v_0$  — объем квантового слоя,  $f_{sj}^{c(v)} = F_{n(n')}^{c(v)} e^{i\mathbf{k}_\perp \mathbf{r}} \chi_{s(j)}$  — огибающие волновые функции электрона в  $c$ - и  $v$ -зонах,  $s = \pm 1/2$  для зоны проводимости,  $j = \pm 3/2$  для зоны тяжелых дырок ( $hh$ ),  $j = \pm 1/2$  для зоны легких дырок ( $lh$ ).  $V_{cs,vj}^{(2)}(\mathbf{k}_\perp, \hat{k}_z, \omega)$  получено из матричного элемента двухфотонного перехода для массивного образца  $V^{(2)}(k_x, k_y, k_z)$  заменой  $k_z \rightarrow \hat{k}_z = i\partial/\partial z$ .

Огибающие функции получаются решением уравнения Шредингера для каждого типа частиц в одномерной прямоугольной потенциальной яме конечной глубины  $V$  (высота потенциального барьера  $V_c = \Delta E_c$ ,  $V_{lh} = V_{hh} = \Delta E_v$  зависит от состава  $x$  барьера  $\text{Ga}_{1-x}\text{Al}_x\text{As}$  и является параметром задачи) в приближении эффективной массы.

Условие сшивания на границах ямы  $z = 0$ ,  $z = a$  приводит к следующему трансцендентному уравнению:

$$x = n - \frac{2}{\pi} \arcsin \frac{x}{\sqrt{U(1-x^2)(1-l)}}, \quad (3)$$

где  $n = 1, 2, 3, \dots$ ,  $x = \frac{ka}{\pi}$ ,  $k = \sqrt{2m_A E/\hbar^2}$ ,  $U = V/E_0$  — приведенная глубина ямы,  $E$  — энергия частиц,  $E_0 = \pi^2\hbar^2/2m_A a^2$  — энергия первого уровня для частицы типа  $m_A$  в одномерной яме с шириной  $a$  и с

бесконечно высокими барьерами,  $l = m_A/m_B$  — отношение масс для частицы данного типа ( $e, lh, hh$ ) [9] в материале ямы и барьера. Решая (3), в отдельности для каждого типа частиц получим спектр энергий и параметры огибающих функций для электронов и дырок в соответствующих конечных ямах.

При вычислении (2) мы пользовались выражением  $V^{(2)}$  для массивного полупроводника, соответствующим переходам  $\Gamma_8 \rightarrow \Gamma_6$  группы  $T_d$  [7]. Для межзонных матричных элементов квазиимпульса  $k$ , фигурирующих в (2), в рассмотренном нами случае получаются следующие выражения:

$$(k_{\perp})_{nn'} = B_n B_{n'} \frac{2k_{\perp} a \sin \alpha_{n'} \sin \alpha_n}{\pi} \left[ \frac{l_n y_n - l_{n'} y_{n'}}{x_n^2 - x_{n'}^2} + \frac{1}{y_n - y_{n'}} \right], \quad (4)$$

$$(k_z)_{nn'} = i B_n B_{n'} [1 - (-1)^{n'-n}] \sin \alpha_n \cdot \sin \alpha_{n'} \left[ \frac{l_n y_n l_{n'} y_{n'} + x_n^2}{x_n^2 - x_{n'}^2} + \frac{y_{n'}}{y_n + y_{n'}} \right], \quad (5)$$

$$E_n = E_0 x_n^2; \quad y_n = \sqrt{(U - x_n^2)/l}; \quad \sin \alpha_n = \frac{x_n}{\sqrt{Ul + x_n^2(1-l)}};$$

$$B_n = \sqrt{\frac{2}{a}} \left( 1 + \frac{2(x_n^2 + y_n^2 l_n)}{\pi y_n (x_n^2 + y_n^2 l_n^2)} \right)^{-\frac{1}{2}}. \quad (6)$$

Отметим, что в предельном случае бесконечно глубокий ям ( $U \rightarrow \infty$ ) (3) имеет решение  $x_n = n$ , а (4), (5) и (6) переходят в известные выражения для энергии  $E_n = \frac{\pi^2 \hbar^2 n^2}{2ma^2}$  и матричного элемента квазиимпульса в бесконечно глубокой яме [2]

$$k_{nn'} = k_{\perp} e_{\perp} \delta_{nn'} + e_z k_z \frac{[1 - (-1)^{n'+n}]}{n^2 - (n')^2} [1 - \delta_{nn'}].$$

Как видно из (5), для поляризации  $\mathbf{e} \parallel \mathbf{z}$  в случае конечной потенциальной ямы, как и в случае бесконечной ямы, имеет место правило отбора, согласно которому  $(k_z)_{nn'} = 0$  только при нечетных  $\Delta n = n' - n$ . Величина матричных элементов, однако, в случаях бесконечной и конечной ям отличаются. Для поляризации  $\mathbf{e} \perp \mathbf{z}$  в отличие от случая бесконечно глубокого ям, где благодаря ортогональности решений в области ямы ( $0 \leq z \leq a$ ) имеется правило отбора  $\Delta n = n' - n = 0$ , в случае конечных ям разрешены переходы при любых четных  $\Delta n$ , вероятность переходов, однако, с увеличением  $\Delta n$  уменьшается.

Для коэффициента поглощения  $\alpha^{(2)}$  получается

$$\alpha^{(2)} = \frac{4\pi\omega}{a + a_B} \left( \frac{2\pi e^2}{m_0^2 \omega^2 c \kappa} \right)^2 I \sum_{\substack{cn, \\ v_i, n'}} \frac{\mu_{cv_i} L^2}{2\pi^2 \hbar^2 a^2} F_{nn'}(e) \Theta(2\hbar\omega - E_g - E_{co} x_n^2 - E_{vo} x_{n'}^2), \quad (7)$$

где  $\mu_{cv_i}$  — приведенная эффективная масса электрона и соответствующей дырки,  $\kappa$  — показатель преломления на частоте  $\omega$ ,  $L = \frac{\hbar P^3}{m_0 E_g^3}$ ,

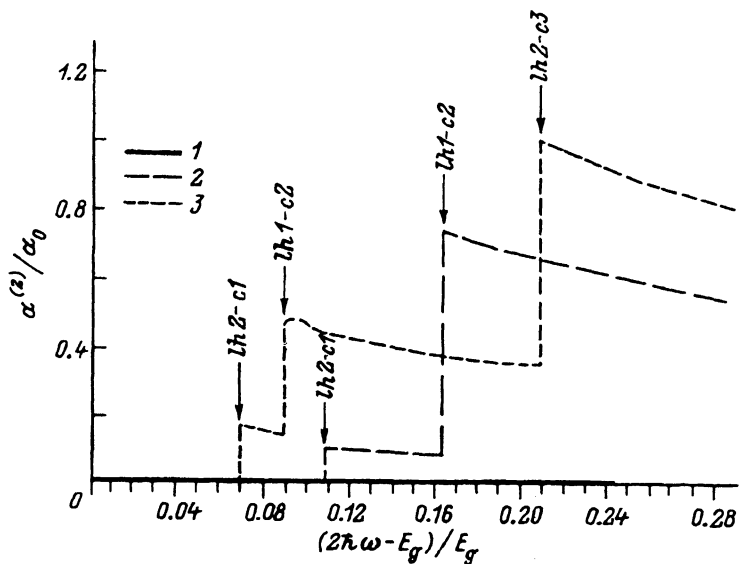


Рис. 1. Коэффициент двухфотонного поглощения  $\alpha^{(2)}$  ( $\alpha_0 = 5.23 \cdot 10^{-3}$  см/МВт) в МКС GaAs/Ga<sub>0.65</sub>Al<sub>0.35</sub>As с шириной барьера  $a_B = 150$  Å для поляризации  $e \parallel z$ .  $a$ , Å: 1 — 40, 2 — 70, 3 — 110.

$P = \langle s | P_x | x \rangle$ ,  $\Theta(x)$  — единичная ступенчатая функция,  $F_{nn'}$  — безразмерный множитель, зависящий от  $(k_{\perp})_{nn'}$ ,  $(k_z)_{nn'}$  и поляризации света, величина которого полностью определяется параметрами зонной структуры полупроводника. Значения параметра  $F_{nn'}$  для гетероструктуры GaAs/Ga<sub>1-x</sub>Al<sub>x</sub>As,  $T = 5$  К рассчитаны нами для всех представляющих интерес случаев. Так, для перехода  $hh(n' = 1) \rightarrow c(n = 1)$  и  $e \perp z$  получаем  $F_{11} = 27.48(k_{\perp})_{11}^2 a^2$  для линейной поляризации и  $F_{11} = 16.59(k_{\perp})_{11}^2 a^2$  для циркулярной поляризации, а для перехода  $lh(n' - n) \rightarrow c(n = 1)$  и  $e \perp z$  получаем  $F_{11} = 9.49(k_{\perp})_{11}^2 a^2$  для линейной поляризации и  $F_{11} = 4.54(k_{\perp})_{11}^2 a^2$  для циркулярной поляризации.

Переходы с нечетным  $n' - n$  дают основной вклад при поляризации  $e \parallel z$ . Переходы  $hh(1) \rightarrow c(2)$  и  $hh(2) \rightarrow c(1)$  не дают вклада в поглощение согласно закону сохранения момента импульса. Для переходов  $lh(1) \rightarrow c(2)$  и  $lh(2) \rightarrow c(1)$  при линейной поляризации  $e \parallel z$  получаем  $F_{21} = 70.28(k_z)_{21}^2 a^2$ . В выражении (4) и в последующих выражениях  $F_{nn'}$

$$k_{\perp}^2 = \frac{2\mu_{cv}}{\hbar^2} (2\hbar\omega - E_g - E_{oc}x_n^2 - E_{ov}x_{n'}^2) \quad (8)$$

согласно закону сохранения энергии при двухфотонном поглощении.

Реальная зонная структура материалов гетероструктуры и конечность потенциальных ям для электронов и дырок в  $\alpha^{(2)}$  проявляются в виде коэффициентов  $F_{nn'}$ ,  $\mu_{cv}$ ,  $L$  и в матричных элементах (4), (5), определяющих силы осцилляторов соответствующих переходов.  $\Theta(2\hbar\omega - E_g - E_{co}x_n^2 - E_{vo}x_{n'}^2)$  учитывает изменение порогов соответствующих переходов из-за конечности глубины потенциальных ям.

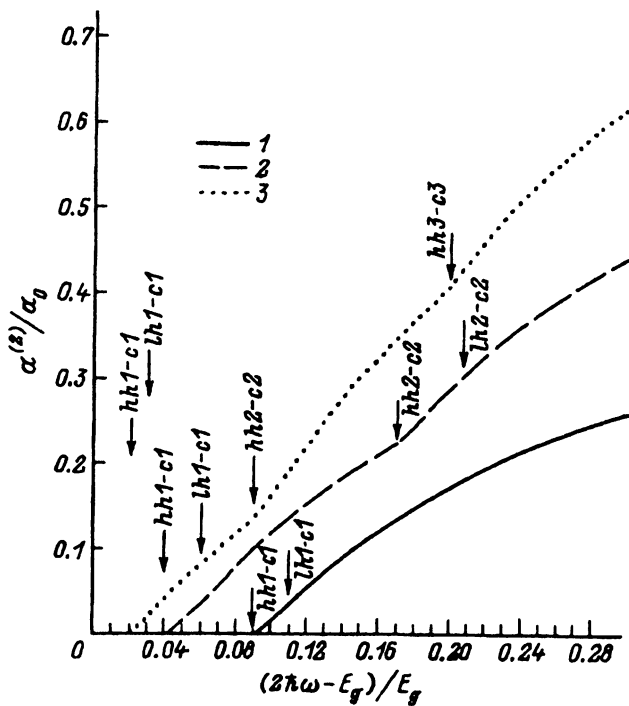


Рис. 2. Коэффициент двухфотонного поглощения  $\alpha^{(2)}$  ( $\alpha_0 = 1.86 \cdot 10^{-2}$  см/МВт) в МКС GaAs/Ga<sub>0.65</sub>Al<sub>0.35</sub>As с шириной барьера  $a_B = 150$  Å для поляризации  $e \perp z$ .  $a$ , Å: 1 — 40, 2 — 70, 3 — 110.

Решение уравнения (3) для достаточно малых  $Va^2$  показывает, что с уменьшением ширины или глубины ямы, в частности с уменьшением молярной доли Al в Ga<sub>1-x</sub>Al<sub>x</sub>As, уменьшается число возможных квантовых состояний для электронов и дырок в яме. Так, при выбранных в эксперименте [3] значениях энергетических разрывов  $E_c = 0.330$  эВ,  $E_v = 0.107$  эВ и параметров  $a = 110$  Å,  $T = 5$  К при  $x = 0.35$  наши расчеты дают три связанных состояния для электронов в яме и два состояния для легких дырок. Тогда как для образца с  $a = 40$  Å получаются только по одному состоянию для электронов и легких дырок с энергиями  $E_{c1} = 0.31E_{c0}$ ,  $E_{lh1} = 0.22E_{lho}$  и два состояния для тяжелых дырок  $E_{hh1} = 0.42E_{hho}$ ,  $E_{hh2} = 1.45E_{hho}$ .

Отмеченное значительное изменение энергетического спектра частиц играет решающую роль в спектре двухфотонного поглощения. Частотные зависимости  $\alpha^{(2)}$  для исследуемых поляризаций  $e \perp z$  и  $e \parallel z$  для различных значений ширины квантовой ямы приведены на рис. 1 и 2. Расчеты проведены, в частности, для значений параметров гетероструктур, соответствующих эксперименту [3]. Как видно из рис. 1, при  $a = 40$  Å  $e \parallel z$  двухфотонное поглощение в яме отсутствует (кривая 1) в полном соответствии с экспериментом [3]. Авторы [3] объясняют это явление тем, что в условиях их эксперимента измерения проведены в области частот, где  $2\hbar\omega$  меньше энергии перехода  $lh(n' = 2) \rightarrow c(n = 1)$ . Однако, как было показано выше, для  $a = 40$  Å

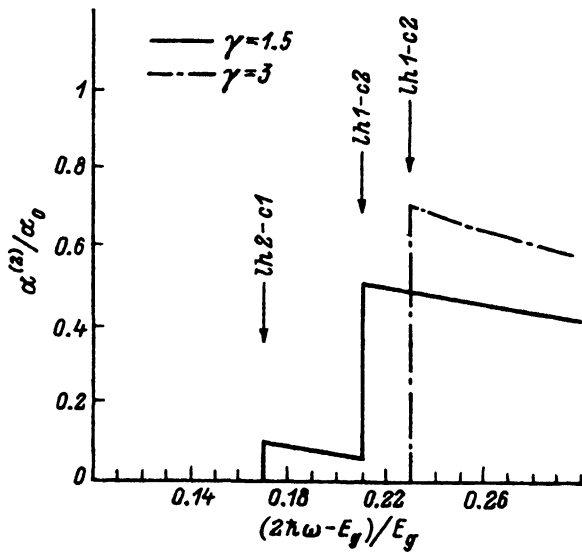


Рис. 3. Коэффициент двухфотонного поглощения  $\alpha^{(2)}$  ( $\alpha_0 = 5.23 \cdot 10^{-3}$  см/МВт) в МКС GaAs/Ga<sub>0.65</sub>Al<sub>0.35</sub>As с шириной квантовой ямы  $a_B = 50$  Å для поляризации  $e \parallel z$  для двух значений параметра  $\gamma = \Delta E_c/\Delta E_v$ .

в яме нет состояний для легких дырок и электронов с  $n, n' > 1$ . Следовательно, при  $a = 40$  Å,  $e \parallel z$  двухфотонное поглощение отсутствует не только в области частот, исследуемой в эксперименте [3], но и в более широкой области частот, вплоть до порога двухфотонных переходов «связанное состояние → непрерывный спектр». При увеличении ширины ямы уже при  $\geq 50$  Å появляются состояния с  $n, n' \neq 1$  и при поляризации  $e \parallel z$  также возникает поглощение (рис. 1, кривые 2, 3). Причем в спектре поглощения четко проявляется двумерная плотность состояний в квантовой яме.

В случае поляризации  $e \perp z$  из-за зависимости матричного элемента от квазиимпульса  $k$  и правила отбора  $\Delta n$  — четный, двухфотонное поглощение существует при любых толщинах ямы  $a$  (рис. 2, кривые 1–3). Изломы на кривых поглощения соответствуют пороговым частотам включения новых подзон с  $n, n' > 1$  в процесс двухфотонного поглощения.

Как известно, важным параметром теории полупроводниковых гетероструктур является отношение энергетических скачков в  $s$ - и  $v$ -зонах  $\Delta E_c/\Delta E_v$ , экспериментальные значения которого для многих типов гетероструктур часто неоднозначны и могут значительно отличаться друг от друга. С другой стороны, энергетические разрывы определяют глубины потенциальных ям и, соответственно, число двумерных подзон в каждой яме. Следовательно, как местоположение, так и само число пиков в спектре поглощения значительным образом зависят от параметра  $\Delta E_c/\Delta E_v$ . Это особенно заметно в случае поляризации  $e \parallel z$ , где каждый новый переход приводит к возникновению нового резкого пика в спектре. На рис. 3 приведены спектры поглощения в GaAs/Ga<sub>0.7</sub>Al<sub>0.3</sub>As при  $a = 50$  Å,  $e \parallel z$  для двух значений  $\Delta E_c/\Delta E_v = 3$  и 1.5, часто рассматриваемых в литературе [3]. Как видно, пороги и

местоположение, а также число самих пиков отличаются, что дает возможность предложить новый метод для выбора наиболее реального отношения  $\Delta E_c/\Delta E_v$  из имеющихся в литературе данных, основанный на исследовании двухфотонного поглощения. Действительно, из данных работы [3] нетрудно получить, что новый  $(n+1)$ -ый уровень возникает, когда параметр  $U$  для данного типа частицы удовлетворяет условию  $\sqrt{U} = \sqrt{V/E_0} = n$ . Соответственно, при поляризации  $e \parallel z$  число пиков в спектре поглощения, соответствующих значениям  $V_1 \leq E_0 n^2$  и  $V_2 \geq E_0 n^2$ , будет отличаться на единицу. Таким образом, выбирая толщину слоя GaAs, удовлетворяющую условию  $V_1 < E_0 n^2 < V_2$  и сравнивая число экспериментальных пиков с рассчитанными, можно осуществить выбор между параметрами  $V_1$  и  $V_2$ , что позволит определить наиболее реальное значение  $\Delta E_c/\Delta E_v$ .

#### Список литературы

- [1] H.N. Spector. Phys. Rev. B, **35**, 5876 (1987).
- [2] A. Pasquarello, A. Quattropani. Phys. Rev. B, **38**, 6206 (1988).
- [3] K. Tai, A. Mysyrowicz, R.J. Fisherm, R.E. Slusher, A.Y. Cho. Phys. Rev. Lett., **62**, 1784 (1989).
- [4] М.А. Хармен. Полупроводниковые сверхрешетки (М., Мир, 1989).
- [5] Г.Л. Бир, Г.Е. Пикус. Симметрия и деформационные эффекты в полупроводниках (М., Наука, 1972).
- [6] Е.Л. Ивченко. ФТТ, **14**, 3489 (1972).
- [7] С.Б. Арифжанов, Е.Л. Ивченко. ФТТ; **17**, 81 (1975).
- [8] P. Voisin, G. Bastard, M. Voss. Phys. Rev. B, **29**, 935 (1984).
- [9] R.C. Miller, P.A. Kleinman, A.C. Gossard. Phys. Rev. B, **32**, 7085 (1984).

Редактор В.В. Чалдышев

#### Two-photon absorption in a GaAs/Ga<sub>1-x</sub>Al<sub>x</sub>As multi-well quantum structure

*S.K. Avetisyan*, A.O. Melikyan, G.R. Minasyan

Armenian State Engineering University, Yerevan, Armenia